

УДК 531.381

**А. Л. Рачинская, А. Н. Дуца**

Одесский национальный университет имени И. И. Мечникова

## **ЭВОЛЮЦИЯ БЫСТРЫХ ВРАЩЕНИЙ СПУТНИКА ПОД ДЕЙСТВИЕМ ВОЗМУЩАЮЩИХ МОМЕНТОВ**

**Рачинська А. Л., Дуца А. М. Еволюція швидких обертань супутника під дією збурюючих моментів.** Досліджується швидкий обертальний рух відносно центру мас динамічно несиметричного супутника з порожниною, заповненою в'язкою рідиною, при малих числах Рейнольдса, під дією гравітаційного моменту. Орбітальні рухи з довільним эксцентриситетом вважаються заданими. Незбуреним рухом є випадок Ейлера – Пуансо. Проведено чисельний аналіз неявним методом Адамса. Виконано візуалізація годографу вектора кінетичного моменту на сфері одиничного радіуса.

**Ключові слова:** супутник, гравітаційний момент, порожнина.

**Рачинская А. Л., Дуца А. Н. Эволюция быстрых вращений спутника под действием возмущающих моментов.** Исследуется быстрое вращательное движение относительно центра масс динамически несимметричного спутника с полостью, заполненной вязкой жидкостью, при малых числах Рейнольдса, под действием гравитационного момента. Орбитальные движения с произвольным эксцентриситетом считаются заданными. Невозмущенным движением является случай Эйлера – Пуансо. Проведен численный анализ неявным методом Адамса. Выполнена визуализация годографа вектора кинетического момента на сфере единичного радиуса.

**Ключевые слова:** спутник, гравитационный момент, полость.

**Rachinskaya A. L., Dutsa A. N. The evolution of fast rotations of a satellite under the action of disturbing torques.** We investigate the fast rotational motion relative to center of mass of a dynamically asymmetric satellite with a cavity filled with viscous fluid at low Reynolds numbers. Under the action of gravitational torque. Orbital motions with arbitrary eccentricity are given. The case of the Euler – Poinsot motion is unperturbed. The numerical analysis using the implicit Adams method. Implemented visualization of the hodograph of the angular momentum vector on a sphere of unit radius.

**Key words:** satellite, gravitational moment, cavity.

**ВВЕДЕНИЕ.** Рассмотрено движение динамически несимметричного спутника относительно центра масс в гравитационном поле. Тело содержит полость, целиком заполненную сильно вязкой однородной жидкостью. Вращательные движения рассматриваются в рамках модели квазивердого тела, центр масс которого движется по заданной фиксированной эллиптической орбите [1]. Исследованиям вращательных движений тел относительно центра масс под действием возмущающих моментов сил различной природы (гравитационных, светового давления, влияния полости, заполненной вязкой жидкостью, и др.), близким к приведенному ниже, посвящены работы [1–10]. В работе для численного исследования задачи применяется неявная схема Адамса, что позволило провести компьютерную визуализацию движения вектора кинетического момента в трехмерном пространстве с построением годографа этого вектора. Задачи компьютерного мо-

делирования динамических систем являются одним из актуальных направлений современных исследований [11–13].

### Основные результаты.

**1. Постановка задачи.** Введем три декартовые системы координат, начиная которых совместим с центром инерции спутника [2, 3]. Система координат  $Ox_i (i = 1, 2, 3)$  движется поступательно вместе с центром инерции: ось  $Ox_1$  параллельна радиус вектору перигея орбиты, ось  $Ox_2$  – вектору скорости центра масс спутника в перигее, ось  $Ox_3$  – нормали к плоскости орбиты. Система координат  $Oy_i (i = 1, 2, 3)$  связана с вектором кинетического момента  $\mathbf{G}$ . Ось  $Oy_3$  направлена по вектору кинетического момента  $\mathbf{G}$ , ось  $Oy_2$  лежит в плоскости орбиты (т.е. в плоскости  $Ox_1x_2$ ), ось  $Oy_1$  лежит в плоскости  $Ox_3y_3$  и направлена так, что векторы  $y_1, y_2, y_3$  образуют правую тройку [2, 4]. Оси системы координат  $Oz_i (i = 1, 2, 3)$  связаны с главными центральными осями инерции твердого тела. Взаимное положение главных центральных осей инерции и осей  $Oy_i$  определим углами Эйлера. При этом направляющие косинусы  $\alpha_{ij}$  осей  $z_i$  относительно системы  $Oy_i$  выражаются через углы Эйлера  $\varphi, \psi, \theta$  по известным формулам [2]. Положение вектора кинетического момента  $\mathbf{G}$  относительно его центра масс в системе координат  $Ox_i$  определяются углами  $\lambda$  и  $\delta$ , как показано [2–4].

Уравнения движения тела относительно центра масс запишем в форме [3]:

$$\begin{aligned} \frac{dG}{dt} &= L_3, \quad \frac{d\delta}{dt} = \frac{L_1}{G}, \quad \frac{d\lambda}{dt} = \frac{L_2}{G \sin \delta}, \\ \frac{d\theta}{dt} &= G \sin \theta \sin \varphi \cos \varphi \left( \frac{1}{A_1} - \frac{1}{A_2} \right) + \frac{L_2 \cos \psi - L_1 \sin \psi}{G}, \\ \frac{d\varphi}{dt} &= G \cos \theta \left( \frac{1}{A_3} - \frac{\sin^2 \varphi}{A_1} - \frac{\cos^2 \varphi}{A_2} \right) + \frac{L_1 \cos \psi + L_2 \sin \psi}{G \sin \theta}, \\ \frac{d\psi}{dt} &= G \left( \frac{\sin^2 \varphi}{A_1} + \frac{\cos^2 \varphi}{A_2} \right) - \frac{L_1 \cos \psi + L_2 \sin \psi}{G} \operatorname{ctg} \theta - \frac{L_2}{G} \operatorname{ctg} \delta. \end{aligned} \quad (1)$$

Здесь  $L_i$  – моменты внешних сил относительно осей  $Oy_i$ ,  $G$  – величина кинетического момента,  $A_i (i = 1, 2, 3)$  – главные центральные моменты инерции относительно осей  $Oz_i$ .

$$\begin{aligned} \frac{dT}{dt} &= \frac{2T}{G} L_3 + G \sin \theta \left[ \cos \theta \left( \frac{\sin^2 \varphi}{A_1} + \frac{\cos^2 \varphi}{A_2} - \frac{1}{A_3} \right) (L_2 \cos \psi - L_1 \sin \psi) + \right. \\ &\quad \left. + \sin \varphi \cos \varphi \left( \frac{1}{A_1} - \frac{1}{A_2} \right) (L_1 \cos \psi + L_2 \sin \psi) \right]. \end{aligned} \quad (2)$$

Центр масс спутника движется по кеплеровскому эллипсу с эксцентриситетом  $e$  и периодом обращения  $Q$ . Зависимость истинной аномалии  $\nu$  от времени  $t$  дается соотношением

$$\frac{d\nu}{dt} = \frac{\omega_0(1 + e \cos \nu)^2}{(1 - e^2)^{3/2}}, \quad \omega_0 = \frac{2\pi}{Q}, \quad (3)$$

где  $\omega_0$  – угловая скорость орбитального движения спутника.

Проекции  $L_i$  момента приложенных сил складываются из гравитационного момента  $L_i^g$  и момента сил вязкой жидкости в полости  $L_i^p$ . Здесь приведена проекция на ось  $Oy_1$  гравитационного момента, на другие оси проекции имеют аналогичный вид [3]

$$\begin{aligned} L_1^g &= \frac{3\omega_0^2(1+e\cos\nu)^3}{(1-e^2)^3} \sum_{j=1}^3 (\beta_2\beta_j S_{3j} - \beta_3\beta_j S_{2j}), \\ S_{mj} &= \sum_{p=1}^3 A_p \alpha_{jp} \alpha_{mp}, \quad \beta_1 = \cos(\nu - \lambda) \cos \delta, \\ \beta_2 &= \sin(\nu - \lambda), \quad \beta_3 = \cos(\nu - \lambda) \sin \delta. \end{aligned} \quad (4)$$

Проекции момента сил сильно вязкой жидкости в полости  $L_i^p$  на оси  $Oy_i$  ( $i = 1, 2, 3$ ) имеют вид [1]:

$$L_i^p = \frac{P}{A_1 A_2 A_3} \left\{ \omega \bullet \mathbf{B} + \frac{3\omega_0^2(1+e\cos\nu)^3}{(1-e^2)^3} (\mathbf{D} + \mathbf{S}) \bullet \alpha \right\} (i = 1, 2, 3), \quad (5)$$

где

$$\begin{aligned} \omega &= \begin{pmatrix} p \\ q \\ r \end{pmatrix}, \quad \mathbf{B} = \begin{pmatrix} B_1 \\ B_2 \\ B_3 \end{pmatrix}, \quad \alpha = \begin{pmatrix} \alpha_{i1} \\ \alpha_{i2} \\ \alpha_{i3} \end{pmatrix}, \quad \mathbf{S} = \begin{pmatrix} S_1 \\ S_2 \\ S_3 \end{pmatrix}, \\ \mathbf{D} &= \begin{pmatrix} A_2 A_3 (A_3 - A_2) \{-\gamma_{31}\gamma_{33}r + \alpha^* (F_1 p_{\alpha 1} + M_1 p_{\alpha 2})\} \\ A_1 A_3 (A_1 - A_3) \{-\gamma_{32}\gamma_{33}r + \alpha^* (F_2 p_{\alpha 1} + M_2 p_{\alpha 2})\} \\ (A_2 - A_1) \{(\gamma_{32}^2 - \gamma_{31}^2)r - \alpha^* (F_3 p_{\alpha 1} + M_3 p_{\alpha 2})\} \end{pmatrix}, \\ \mathbf{F} &= \begin{pmatrix} \gamma_{31}\gamma_{33}\alpha_{33} + \beta_{\alpha 1}\gamma_{33} + \beta_{\alpha 2}\gamma_{32} \\ \gamma_{32}\gamma_{33}\alpha_{33} + \beta_{\alpha 3}\gamma_{33} + \beta_{\alpha 2}\gamma_{31} \\ (\gamma_{32}^2 - \gamma_{31}^2)\alpha_{33} + \beta_{\alpha 3}\gamma_{32} + \beta_{\alpha 1}\gamma_{31} \end{pmatrix}, \\ \mathbf{M} &= \begin{pmatrix} \gamma_{33}^2\alpha_{32} + \gamma_{32}\gamma_{33}\alpha_{33} - \gamma_{32}\beta_3 \\ \gamma_{33}^2\alpha_{31} + \gamma_{31}\gamma_{33}\alpha_{33} - \gamma_{31}\beta_3 \\ \gamma_{33} [\gamma_{32}\alpha_{31} + \gamma_{31}\alpha_{32}] \end{pmatrix}, \quad \alpha^* = \frac{1}{1 - \alpha_{33}^2}, \\ S_1 &= \gamma_{31} [\gamma_{33}r A_3 (A_1 A_2 - A_1^2 - A_2 A_3 + A_3^2) + \\ &\quad + \gamma_{32}q A_2 (A_1 A_3 - A_1^2 - A_2 A_3 + A_2^2)], \end{aligned}$$

$$\begin{aligned} S_2 &= \gamma_{32} [\gamma_{31}p A_1 (A_3 A_2 - A_2^2 - A_1 A_3 + A_1^2) + \\ &\quad + \gamma_{33}r A_3 (A_1 A_2 - A_2^2 - A_1 A_3 + A_3^2)], \end{aligned}$$

$$\begin{aligned} S_3 &= \gamma_{33} [\gamma_{32}q A_2 (A_1 A_3 - A_3^2 - A_1 A_2 + A_2^2) + \\ &\quad + \gamma_{31}p A_1 (A_2 A_3 - A_3^2 - A_1 A_2 + A_1^2)], \end{aligned}$$

$$\gamma_{3i} = \beta_1\alpha_{1i} + \beta_2\alpha_{2i} + \beta_3\alpha_{3i} \quad (i = 1, 2, 3), \quad p_{\alpha 1} = p\alpha_{31} + q\alpha_{32},$$

$$\beta_{\alpha 1} = -\alpha_{22}\beta_1 + \alpha_{12}\beta_2, \quad \beta_{\alpha 2} = -\alpha_{23}\beta_1 + \alpha_{13}\beta_2, \quad \beta_{\alpha 3} = -\alpha_{21}\beta_1 + \alpha_{11}\beta_2,$$

$$B_1 = [\omega_2^2 A_2 (A_1 - A_2)(A_2 - A_3 + A_1) + \omega_3^2 A_3 (A_1 - A_3)(A_3 - A_2 + A_1)] \alpha_{11},$$

$B_2, B_3$  имеют аналогичный вид и получаются ротацией индексов (сдвигом).

Здесь  $\alpha_{ij}$  — направляющие косинусы между системами координат  $Oy_i$  ( $i = 1, 2, 3$ ) и  $Oz_i$  ( $i = 1, 2, 3$ ),  $p, q, r$  — проекции на оси  $Oz_i$  ( $i = 1, 2, 3$ ) вектора абсолютной угловой скорости  $\omega$  спутника относительно системы координат  $Ox_1x_2x_3$ .

Величина  $\tilde{P}$  — тензор, зависящий только от формы полости, характеризует диссипативный момент сил, обусловленный вязкой жидкостью, в квазистатическом приближении [1]. Для простоты в уравнениях (5) рассмотрен так называемый скалярный тензор, определенный одной скалярной величиной  $P > 0$ ; компоненты которого имеют вид  $\tilde{P}_{ij} = P\delta_{ij}$ , где  $\delta_{ij}$  — символы Кронекера (такой вид тензора  $\tilde{P}$  имеет, например, в случае сферической полости). Если форма полости существенно отличается от сферической, то определение компонент тензора представляет значительные вычислительные трудности.

Рассматривается динамически несимметричный спутник, моменты инерции которого для определенности удовлетворяют неравенству  $A_1 > A_2 > A_3$ , в предположении, что угловая скорость  $\omega$  движения спутника относительно центра масс существенно больше угловой скорости орбитального движения  $\omega_0$ , т.е.  $\varepsilon = \omega_0/\omega \sim A_1\omega_0/G \ll 1$ . В этом случае кинетическая энергия вращения тела велика по сравнению с моментами возмущающих сил.

В работе предполагается, что в полости находится жидкость большой вязкости, т.е.  $\vartheta \gg 1$  ( $\vartheta^{-1} \sim \varepsilon^2$ ), форма полости сферическая, тогда [1]

$$\tilde{P} = P\text{diag}(1, 1, 1), \quad P = \frac{8\pi\rho b_0^7}{525\vartheta}. \quad (6)$$

Здесь  $\rho, \vartheta$  — плотность и кинематический коэффициент вязкости жидкости в полости соответственно,  $b_0$  — радиус полости.

С учетом рассмотренных выше предположений видно, что второе слагаемое (с коэффициентом  $\omega_0^2$ ) в формуле проекции момента сил вязкой жидкости в полости (5) имеет порядок  $\varepsilon^2$ , а значит, с точностью до малых второго порядка малости ( $P \sim \varepsilon^2$ ) проекции момента сил вязкой жидкости в полости имеют вид:

$$\begin{aligned} L_i^p = & \frac{P}{A_1 A_2 A_3} \times \\ & \times \left\{ p \left[ q^2 A_2 (A_1 - A_2)(A_2 - A_3 + A_1) + r^2 A_3 (A_1 - A_3)(A_3 - A_2 + A_1) \right] \alpha_{i1} + \right. \\ & + q \left[ r^2 A_3 (A_2 - A_3)(A_3 - A_1 + A_2) + p^2 A_1 (A_1 - A_2)(A_3 - A_1 - A_2) \right] \alpha_{i2} + \\ & \left. + r \left[ p^2 A_1 (A_3 - A_1)(A_1 - A_2 + A_3) + q^2 A_2 (A_3 - A_2)(A_2 - A_1 + A_3) \right] \alpha_{i3} \right\}, \\ & (i = 1, 2, 3). \end{aligned} \quad (7)$$

Ставится задача исследования эволюции вращений спутника на асимптотически большом интервале времени  $t \sim \varepsilon^{-2}$ , на котором происходит существенное изменение параметров движения. Для решения задачи будем применять метод усреднения [14].

**2. Процедура усреднения.** Рассмотрим невозмущенное движение ( $\varepsilon = 0$ ), когда моменты приложенных сил равны нулю. В этом случае вращение твердого тела является движением Эйлера — Пуансо. Величины  $G, \delta, \lambda, T, \nu$  обращаются в постоянные, а  $\varphi, \psi, \theta$  — некоторые функции времени  $t$  [15]. Медленными переменными в возмущенном движении будут  $G, \delta, \lambda, T, \nu$ , а быстрыми — углы Эйлера  $\varphi, \psi, \theta$ .

Рассмотрим движение при условии  $2TA_1 \geq G^2 > 2TA_2$ , соответствующем траекториям вектора кинетического момента, охватывающим ось наибольшего момента инерции  $A_1$ . Введем величину

$$k^2 = \frac{(A_2 - A_3)(2TA_1 - G^2)}{(A_1 - A_2)(G^2 - 2TA_3)} \quad (0 \leq k^2 \leq 1), \quad (8)$$

представляющую собой в невозмущенном движении постоянную – модуль эллиптических функций, описывающих это движение [15].

Для построения усредненной системы первого приближения подставим решение невозмущенного движения Эйлера – Пуансо в правые части уравнений движения (1), (2) с учетом (4), (7) и проведем усреднение по переменной  $\psi$ , а затем по времени  $t$  с учетом зависимости  $\varphi, \theta$  от  $t$ . При этом для медленных переменных  $G, \delta, \lambda, T, \nu$  сохраняются прежние обозначения. В результате получим для них эволюционные уравнения вида

$$\begin{aligned} \frac{dG}{dt} = 0, \frac{d\delta}{dt} = -\frac{3\omega_0^2(1+e\cos\nu)^3}{2G(1-e^2)^3}\beta_2\beta_3N^*, \frac{d\lambda}{dt} = \frac{3\omega_0^2(1+e\cos\nu)^3}{2G(1-e^2)^3\sin\delta}\beta_1\beta_3N^*, \\ \frac{dT}{dt} = -\frac{4PT^2(A_1-A_3)(A_1-A_2)(A_2-A_3)}{3A_1^2A_2^2A_3^2[A_2-A_3+(A_1-A_2)k^2]^2} \times \\ \times \left\{ A_2(A_1-A_3)(A_1+A_3-A_2) \left[ (k^2-1) + (1+k^2)\frac{E(k)}{K(k)} \right] + \right. \\ + A_1(A_2-A_3)(A_3+A_2-A_1) \left[ (k^2-2) \left( 1 - \frac{E(k)}{K(k)} \right) + k^2 \right] + \\ \left. + A_3(A_1-A_2)(A_1+A_2-A_3) \left[ (1-2k^2) \left( 1 - \frac{E(k)}{K(k)} \right) + k^2 \right] \right\} \\ N^* = A_2 + A_3 - 2A_1 + 3 \left( \frac{2A_1T}{G^2} - 1 \right) \left[ A_3 + (A_2-A_3) \frac{K(k)-E(k)}{K(k)k^2} \right] \end{aligned} \quad (9)$$

Здесь  $K(k)$  и  $E(k)$  – полные эллиптические интегралы первого и второго рода соответственно [16]. Согласно первому уравнению (9) кинетический момент спутника остается постоянным и равен  $G_0$ .

Дифференцируя выражение для  $k^2$  (8) и используя уравнения для кинетической энергии (9), получим дифференциальное уравнение, которое не зависит от других переменных [1, 8]

$$\begin{aligned} \frac{dk^2}{d\xi} = (1-\chi)(1-k^2) - [(1-\chi)+(1+\chi)k^2]\frac{E(k)}{K(k)}, \\ \chi = \frac{3A_2[(A_1^2+A_3^2)-A_2(A_1+A_3)]}{(A_1-A_3)[A_2(A_1+A_3-A_2)+2A_1A_3]}, \quad \xi = (t-t_*)/N, \\ N = \frac{3A_1^2A_2^2A_3^2}{PG_0^2(A_1-A_3)[A_2(A_1+A_3-A_2)+2A_1A_3]} \sim \varepsilon^{-2}. \end{aligned} \quad (10)$$

Здесь  $t_*$  – постоянная. Значению  $k^2 = 1$  отвечает равенство  $2TA_2 = G^2$ , что соответствует сепаратрисе для движения Эйлера – Пуансо. Уравнение (10) описывает усредненное движение конца вектора кинетического момента  $\mathbf{G}$  на

сфере постоянного радиуса  $G_0$ . Анализ уравнений (10) свидетельствует об отсутствии стационарных значений  $k$ , кроме  $k = 0$  и  $k = 1$ .

Из уравнений движения (9) следует, что под влиянием момента сил вязкой жидкости в полости происходит эволюция кинетической энергии тела  $T$ . Изменения углов  $\lambda$ ,  $\delta$  зависят как от действия силы гравитационного притяжения, так и от действия момента сил вязкой жидкости в полости. Выражение, стоящее в фигурных скобках правой части уравнения (9), для  $T$  положительно (при  $A_1 > A_2 > A_3$ ), так как справедливы неравенства  $(1 - k^2)K \leq E \leq K$  [16]. Поэтому  $dT/dt < 0$  поскольку  $T > 0$ , т.е. переменная  $T$  строго убывает для любых  $k^2 \in [0, 1]$ .

**3. Численный анализ уравнений движения.** Рассмотрим систему уравнений движения (9), уравнение изменения истинной аномалии (3) и уравнение (10) в виде

$$\frac{dk^2}{dt} = \frac{1}{N} \left\{ (1 - \chi)(1 - k^2) - [(1 - \chi) + (1 + \chi)k^2] \frac{E(k)}{K(k)} \right\}.$$

Это жесткая система дифференциальных уравнений, содержащая медленные переменные  $G$ ,  $\delta$ ,  $\lambda$ ,  $T$  и полумедленную переменную  $\nu$ . Для численного решения таких систем могут, применимы неявные схемы Адамса. Применим схему Адамса 3-го порядка.

Первоначально рассмотрим систему, состоящую из четвертого уравнения системы (9) и уравнения (10). Проведем обезразмеривание уравнения для кинетической энергии, считая характерными величинами задачи  $N$  (10) и момент инерции  $A_1$ . Имеем

$$\begin{aligned} \frac{dT'}{d\xi} = & - \frac{2(T')^2(A_1 - A_2)(A_2 - A_3)}{A_1[A_2(A_1 + A_3 - A_2) + 2A_1A_3][A_2 - A_3 + (A_1 - A_2)k^2]^2} \times \\ & \times \left\{ A_2(A_1 - A_3)(A_1 + A_3 - A_2) \left[ (k^2 - 1) + (1 + k^2) \frac{E(k)}{K(k)} \right] + \right. \\ & + A_1(A_2 - A_3)(A_3 + A_2 - A_1) \left[ (k^2 - 2) \left( 1 - \frac{E(k)}{K(k)} \right) + k^2 \right] + \\ & \left. + A_3(A_1 - A_2)(A_1 + A_2 - A_3) \left[ (1 - 2k^2) \left( 1 - \frac{E(k)}{K(k)} \right) + k^2 \right] \right\} \end{aligned} \quad (11)$$

где  $T' = \frac{2A_1T}{G_0^2}$ . Это равенство выполняется при  $\xi > 0$ , т.е. для  $2TA_1 \geq G^2 > 2TA_2$ .

Проведен численный расчет при значениях моментов инерции  $A_1 = 8$ ,  $A_2 = 5, 6, 7$ ,  $A_3 = 4$ ;  $k^2(0) = 0.99999$ ,  $G(0) = 1$ . Начальное значение кинетической энергии находилось из равенства

$$T = \frac{G_0^2 [A_2 - A_3 + (A_1 - A_2)k^2]}{2[A_1(A_2 - A_3) + A_3(A_1 - A_2)k^2]}. \quad (12)$$

В безразмерном виде имеем

$$T' = \frac{A_1(A_2 - A_3 + (A_1 - A_2)k^2)}{A_1(A_2 - A_3) + A_3(A_1 - A_2)k^2}.$$

Графики изменения кинетической энергии имеют вид, представленный на рис.1 для случая  $\xi > 0$  и совпадает с представленным в [9]. функция  $k^2$  является убывающей во всех расчетных случаях, и ее график имеет вид, представленный на рис. 2. Кривые 1, 2, 3 соответствуют различным значениям  $A_2 = 5, 6, 7$ .

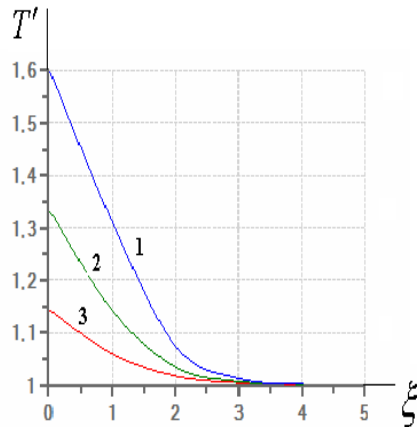


Рис. 1

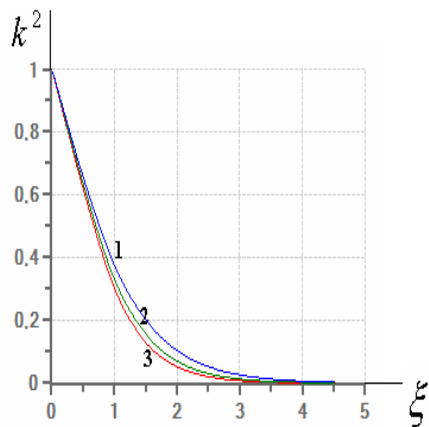


Рис. 2

Численно изучен также случай  $\xi < 0$ , что соответствует  $2TA_2 > G^2 \geq 2TA_3$ . Результаты, полученные методом Адамса, совпадают с [9], что подтверждает корректность применения данной расчетной схемы.

Проведено численное исследование уравнений системы (9) и уравнений (3), (10) в безразмерном виде методом Адамса. Расчет проводился для различных начальных углов  $\lambda$  и  $\delta$ , при  $k^2(0) = 0.99999$ ,  $G(0) = 1$  для спутников с разной геометрией масс.

Во всех расчетных случаях был исследован характер поведения годографа вектора кинетического момента и проведено его компьютерное моделирование. Построение проводилось на сфере единичного радиуса и усредненное движение вектора кинетического момента проводилось с учетом найденных углов ориентации  $\delta$  и  $\lambda$ .

На рис. 3–4 представлены графики изменения углов ориентации вектора кинетического момента для спутника с моментами инерции  $A_1 = 8$ ,  $A_2 = 7$ ,  $A_3 = 4$ . Расчет проводился по безразмерному времени  $\tilde{t} = \varepsilon^2 t$  для различных начальных значений:  $\delta(0) = \frac{\pi}{3}$  – кривая 1,  $\delta(0) = \frac{\pi}{4}$  – кривая 2,  $\delta(0) = \frac{\pi}{6}$  – кривая 3. Из рис. 3 видно, что функция  $\delta(\tilde{t})$  имеет синусоидальный характер, который не зависит от начального значения угла. Исследование функции угла  $\lambda$  показало, что функция  $\lambda(\tilde{t})$  возрастает с переменной скоростью. На рис. 4: кривая 1 соответствует начальному значению угла  $\lambda(0) = \frac{\pi}{2}$ , кривая 2 –  $\lambda(0) = \frac{\pi}{3}$ , а кривая 3 –  $\lambda(0) = \frac{\pi}{4}$ .

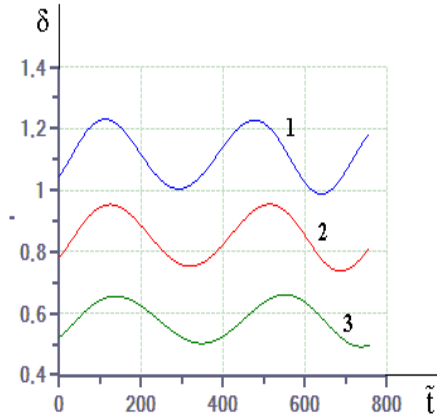


Рис. 3

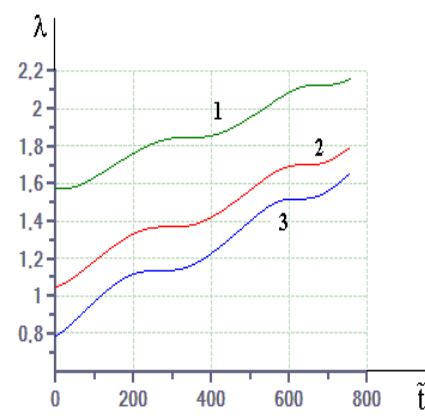


Рис. 4

Первоначально проводилось моделирование движения годографа вектора кинетического момента для спутника с геометрией масс, удовлетворяющей неравенству  $A_1 > A_2 > A_3$ . Во всех расчетных случаях годограф имеет вид парабол, ветви которых направлены вниз с явно выраженным периодическим характером. Расчет проводился при значениях моментов инерции  $A_1 = 8$ ,  $A_3 = 4$ , для начальных углов отклонения вектора кинетического момента  $\delta(0) = \frac{\pi}{3}$  и  $\lambda(0) = \frac{\pi}{3}$ . При этом спутник движется по эллипсу с эксцентриситетом  $e = 0.04473$ , что соответствует орбите 1-го советского спутника. На рис. 5 представлен годограф вектора кинетического момента при значениях  $A_2 = 5, 6, 7$  (рис. 5а, 5б, 5с соответственно). Характер поведения кривой годографа совпадает с полученным в работе [3].

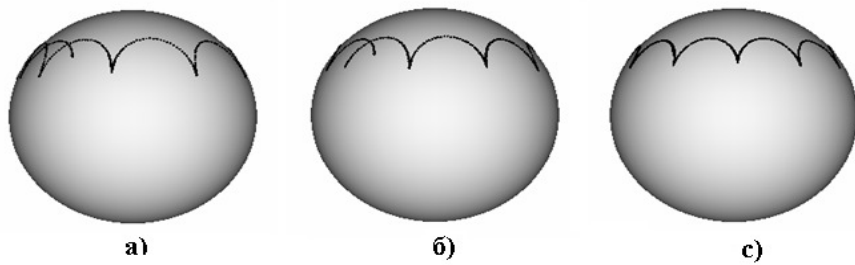


Рис. 5

Следует отметить, что при увеличении начального значения угла  $\lambda(0)$  "дуги" графика становятся реже, т.е. период функции годографа увеличивается. Анимация движения вектора кинетического момента показала, что при повороте вектора около вертикали на угол больше  $2\pi$  кривая годографа замыкается.

Проведено компьютерное моделирование движения вектора кинетического момента для спутника с геометрией масс  $A_1 < A_2 < A_3$  и трехмерное построение его годографа. Из рис. 6а видно, что изменяется направление "ветвей" парабол на противоположное, а сам характер поведения функции годографа остает-

ся периодическим. Интересным является характер поведения траектории следа вектора кинетического момента при  $\delta(0) = \frac{\pi}{2}$  (рис. 6б).

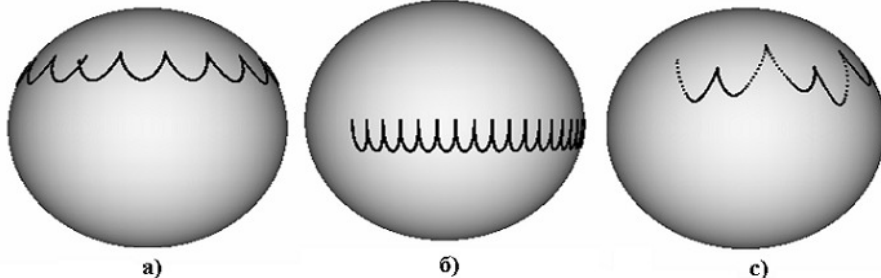


Рис. 6

Как видно из рис. 5, 6а, 6б, при круговой орбите и орбитах 1-го, 3-го спутников (при малом эксцентриситете) графики годографа вектора кинетического момента спутника имеют синусоидальный характер. На рис. 6в представлен результат расчета для сильно эллиптической орбиты с эксцентриситетом  $e = 0.421$ . Видно, что характер функции годографа существенно усложняется и имеет четко выраженные гармоники [3].

**ЗАКЛЮЧЕНИЕ.** Исследовано быстрое вращение спутника относительно центра масс под действием малых возмущающих моментов. Для численного исследования применялась неявная схема Адамса, что позволило построить компьютерную анимацию движения вектора кинетического момента и трехмерное построение его годографа на сфере единичного радиуса.

1. Черноусько Ф. Л. Движение твердого тела с полостями, заполненными вязкой жидкостью, при малых числах Рейнольдса [текст] / Ф. Л. Черноусько // Ж. вычисл. матем. и матем. физ. – 1965. – Т.5, № 6. – С. 1049–1070.
2. Белецкий В. В. Движение искусственного спутника относительно центра масс [текст] / Владимир Васильевич Белецкий. – М.: Наука, 1965. – 416 с.
3. Черноусько Ф. Л. О движении спутника относительно центра масс под действием гравитационных моментов [текст] / Ф. Л. Черноусько // Прикл. математика и механика. – 1963. – Т.27, № 3. – С. 474–483.
4. Белецкий В. В. Движение спутника относительно центра масс в гравитационном поле [текст] / Владимир Васильевич Белецкий. – М.: Изд-во МГУ, 1975. – 308 с.
5. Лещенко Д. Д. Движение спутника относительно центра масс под действием момента сил светового давления в сопротивляющейся среде [текст] / Д. Д. Лещенко, А. Л. Рачинская // Вісник Одеськ. нац. ун-ту. – 2007. – Т. 12, вип. 7. Матем. і мех. – С. 85–98.
6. Акуленко Л. Д. Эволюция быстрого вращения спутника под действием гравитационного момента в среде с сопротивлением [текст] / Л. Д. Акуленко, Д. Д. Лещенко, А. Л. Рачинская // Известия РАН. Механика твердого тела. – 2008. – № 2. – С. 13–26.

7. **Осипов В. В.** О колебании твердого тела со сферической полостью, целиком заполненной вязкой жидкостью, на эллиптической орбите [текст] / В. В. Осипов, Р. С. Суликашвили // Тр. ин-та / Тбилис. мат. ин-т АН Груз. ССР. – 1978. – Т. 58. – С. 175–186.
8. **Смирнова Е. П.** Стабилизация свободного вращения асимметричного волчка с полостями, целиком заполненными жидкостью [текст] / Е. П. Смирнова // Прикл. математика и механика. – 1974. – Т. 38, № 6. – С. 980–985.
9. **Акуленко Л. Д.** Эволюция вращений спутника с полостью, заполненной вязкой жидкостью [текст] / Л. Д. Акуленко, Д. Д. Лещенко, А. Л. Рачинская // Механика твердого тела. – 2007. – Вып. 37. – С. 126–139.
10. **Акуленко Л. Д.** Вращения спутника с полостью, заполненной вязкой жидкостью, под действием гравитационного и светового моментов [текст] / Л. Д. Акуленко, Я. С. Зинкевич, Д. Д. Лещенко, А. Л. Рачинская // Вісник Одеськ. нац. ун-ту. Матем. і мех. – 2008. – Т. 13, Вип. 11. – С. 117–131.
11. **Бутиков Е. И.** Движения космических тел в компьютерных моделях [текст] / Евгений Игоревич Бутиков. – С.-Пб., 2007. – 43 с.
12. **Колесов Ю. Б.** Моделирование систем. Динамические и гибридные системы [текст] / Ю. Б. Колесов, Ю. Б. Сениченков. – С.-Пб.: БХВ-Петербург, 2006. – 224 с.
13. **Голованов Н. Н.** Геометрическое моделирование [текст] / Н. Н. Голованов. – М.: Академия, 2011. – 216 с.
14. **Волосов В. М.** Метод осреднения в теории нелинейных колебательных систем [текст] / В. М. Волосов, Б. И. Моргунов. – М.: Изд-во МГУ, 1971. – 507 с.
15. **Ландау Л. Д.** Теоретическая физика. Т. 1. Механика [текст] / Л. Д. Ландау, Е. М. Лифшиц. – М.: Наука, 1973. – 208с.
16. **Градштейн И. С.** Таблицы интегралов, сумм, рядов и произведений [текст] / И. С. Градштейн, И. М. Рыжик. – М.: Наука, 1971. – 1108 с.